

# Experimentelle Physik I

## WS 16/17

Veranstaltung 4010011

<https://campus.studium.kit.edu/event/H7Ke2neVDU6OCiWVculqYw>

PD Dr. Andreas B. Meyer (KIT und DESY)

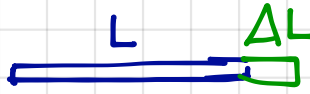
**23. Vorlesung: 5.2. Mechanik fester Körper und Flüssigkeiten (2): Hydrostatik und Hydrodynamik**

# Zusammenfassung

## 5. Mechanik fester Körper u. Flüssigkeiten

### 5.1. Elastische Verformung fester Körper

#### A) Elastische Dehnung

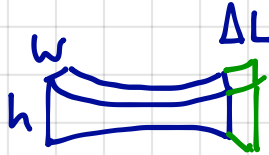


$$\frac{F}{A} = E \cdot \frac{\Delta L}{L}$$

⇒ Versuch: Kupferdraht

Elastizitätsmodul E

#### B) Volumenänderung

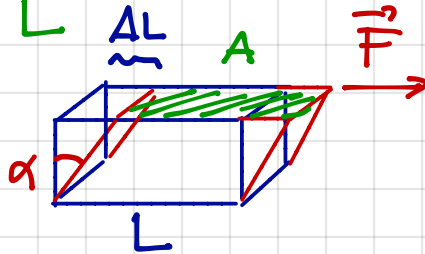


$$\frac{\Delta h}{h} = \frac{\Delta w}{w} = -\mu \frac{\Delta L}{L}$$

$$\frac{\Delta V}{V} \approx (1 - 2\mu) \frac{\Delta L}{L}$$

Poissonzahl  $\mu \approx 0,3$

#### C) Scherung



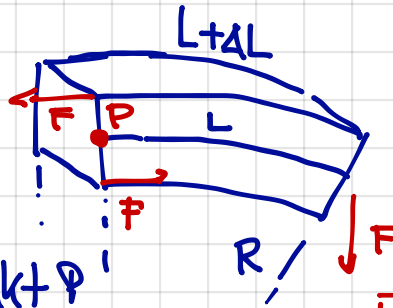
$$\frac{F}{A} = G \cdot \frac{\Delta L}{L}$$

$$\approx G \cdot \alpha$$

Schubmodul G  
Schubmodul G

Anwendung: Biegung

⇒ Versuch mit Plexiglas



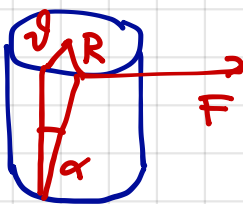
- Drehmomente um Punkt P

- Betrachte einzeln für jede Lage:  
Elastische Dehnung / Stauchung

$$I = \frac{E}{R} \int_{-w/2}^{w/2} x^2 dA$$

Flächenträgheitsmoment I

#### D) Torsion



⇒ Versuch:  $\left(\frac{R_2}{R_1}\right)^4 = \frac{\vartheta_1}{\vartheta_2}$

$$T = \frac{R^4}{L} \cdot \frac{\pi}{2} \cdot G \cdot \vartheta$$

Torsionsmodul oder Richtmoment D

## 5.2 Hydrostatik und Hydrodynamik

Flüssigkeit: Dichtgepackte Systeme ohne starre Anordnung der Atome.

Näherung: Fl.k. sind inkompressibel

leisten keinen Widerstand gegen Scherkräfte

### 5.2.1. Charakteristische Größen

a) Dichte  $H_2O: 1 \text{ g/cm}^3 = 10^3 \text{ kg/m}^3$

Öl:  $0,9 \text{ g/cm}^3$

Hg:  $13,6 \text{ g/cm}^3$

---

Pb:  $11 \text{ g/cm}^3$

Au:  $19 \text{ g/cm}^3$

<Erde>  $5,5 \text{ g/cm}^3$

Neutronenstern  $10^{17} \text{ g/cm}^3$

b) Druck  $p = \frac{|\vec{F}_\perp|}{A}$  (für  $F \perp A$ ) (skalare)

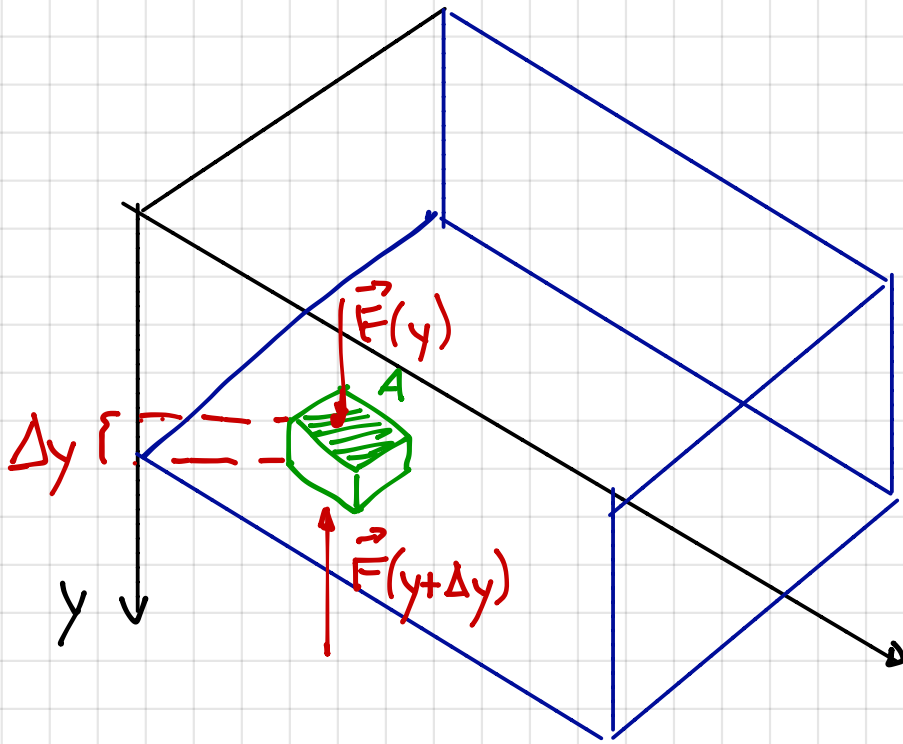
$$[p] = 1 \text{ Pa} = 1 \frac{\text{N}}{\text{m}^2}$$

$$1 \text{ atm} = 1013 \text{ mbar} = 1,013 \cdot 10^5 \text{ Pa}$$

$$\hat{=} 760 \text{ Torr} \hat{=} 760 \text{ mm Hg}$$

$$1 \text{ PSI} \hat{=} 6894 \text{ Pa} \quad (14,5 \text{ PSI} \hat{=} 1 \text{ bar})$$

## 5.2.2 Hydrostatischer Druck



Volumenelement:

$$\Delta V = A \cdot \Delta y$$

$$F(y) = P(y) \cdot A \quad F(y+\Delta y) = P(y+\Delta y) \cdot A = (P + \Delta P) \cdot A$$

- Volumenelement ruht:  $\sum \vec{F}_i = 0$  (Newton)
- Gewichtskraft  $F_G = \rho \cdot A \Delta y \cdot g$

$$P \cdot A + \rho \cdot A \cdot g \cdot dy = (P + dP) \cdot A$$

$$\rho \cdot g \cdot dy = dP$$

$$\frac{dP}{dy} = \rho \cdot g$$

$$P(y) = \rho \cdot g \cdot y + P_0$$

Integrationskonst.  
(Aufendruck)

**PASCALS GESETZ**

→ Versuch Schweredruck (Manometer)

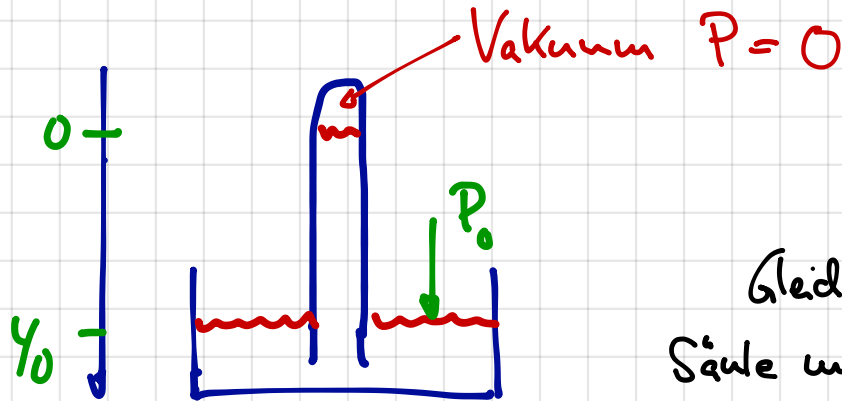
→ Versuch Hydrostat. Paradoxon

↑ relative Druckmessung

# Anwendungen

a) Barometer

(absolute Druckmessung)



Gleichgewicht zwischen Säule und Außenluftdruck

$$\begin{aligned} P(y_0) &= P_0 \\ &= \rho \cdot g \cdot y_0 \quad \Rightarrow \quad y_0 = \frac{P_0}{\rho \cdot g} \end{aligned}$$

Für Quecksilber: 
$$y_0 = \frac{1,013 \cdot 10^5 \frac{\text{N}}{\text{m}^2}}{9,81 \frac{\text{m}}{\text{s}^2} \cdot 13,6 \cdot 10^3 \frac{\text{kg}}{\text{m}^3}} = 0,76 \text{ m} = 760 \text{ mm}$$

Quecksilber, da hohe Dichte und geringe Verdunstung

Toricelli 1608-1647

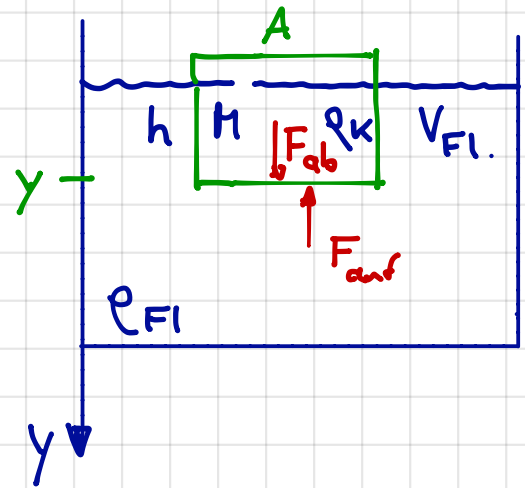
Einheit Torr  $\rightarrow$  1 mm Hg

$$\approx 133,3 \text{ Pa}$$

## b) Auftrieb

$$F_{\text{auf}} = p_0 \cdot A + \rho_{\text{Fl.}} \cdot g \cdot A \cdot y$$

$$F_{\text{ab}} = p_0 \cdot A + \rho_{\text{K}} \cdot g \cdot A \cdot h$$



$$F_{\text{auf}} - F_{\text{ab}} = \Delta F = A \cdot g \cdot (\rho_{\text{Fl.}} y - \rho_{\text{K}} \cdot h)$$

$\Delta F = 0$  Körper treibt in Fl.k.

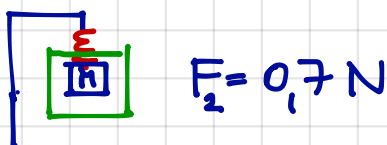
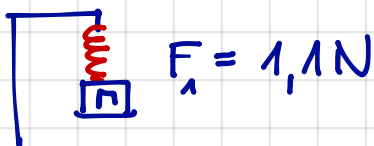
$\Delta F > 0$  treibt auf

$\Delta F < 0$  sinkt

$$V_{\text{Fl.}} \cdot \rho_{\text{Fl.}} > V_{\text{Objekt}} \cdot \rho_{\text{Objekt}}$$

## c) Dichtebestimmung

(Versuch)



$$m_{\text{Stein}} = F_1 / g = 110 \text{ g}$$

$$m_{\text{Fl.}} = \frac{F_1 - F_2}{g} = 40 \text{ g}$$

$$V_{\text{Stein}} = m_{\text{Fl.}} / \rho_{\text{Fl.}} = 40 \text{ cm}^3$$

$$\rho_{\text{Stein}} = m_{\text{Stein}} / V_{\text{Stein}} = 2,75 \frac{\text{g}}{\text{cm}^3}$$



Dichte  $\rho_{(\text{Totes Meer})} = 1,24 \text{ kg/l}$

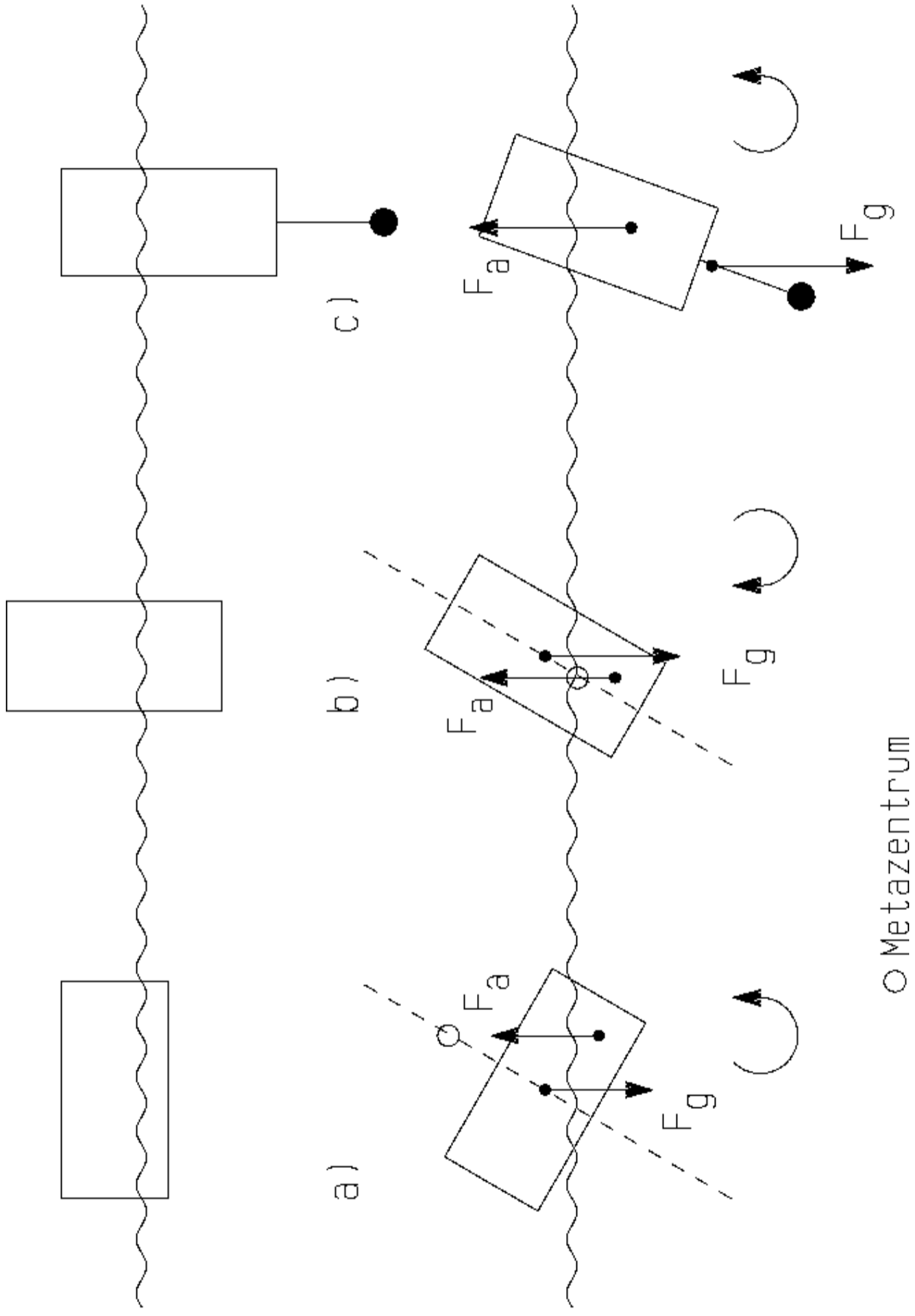
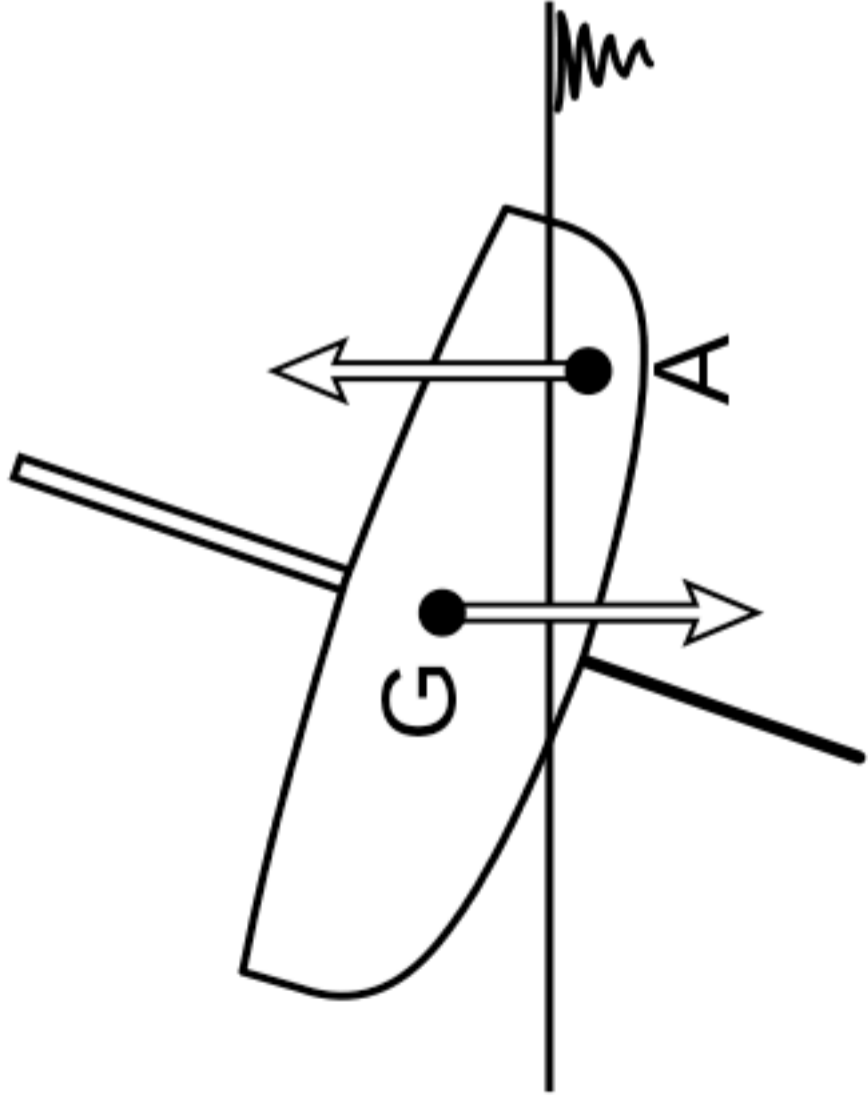
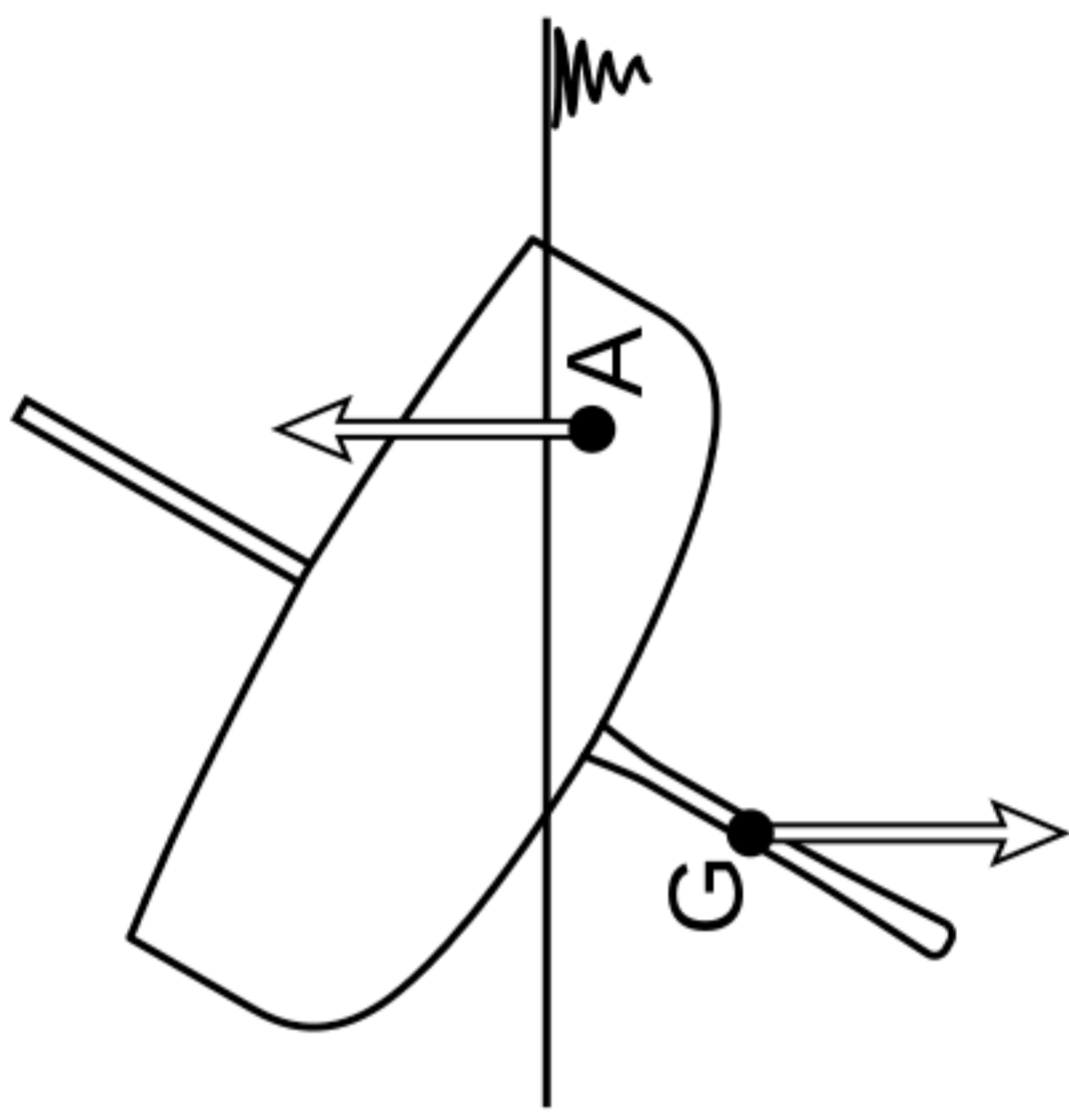


Abbildung 43: Stabile und instabile Schwimmlagen



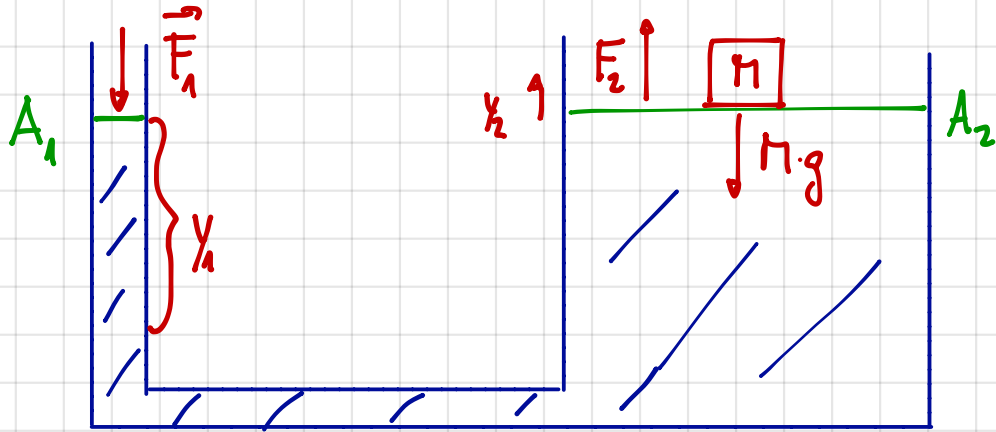


Formstabilität  
(Jollen)



Gewichtsstabilität  
(Yachten)

## d) Hydraulische Presse



$$P_1 = \frac{F_1}{A_1} \stackrel{!}{=} P_2 = \frac{F_2}{A_2} \Rightarrow \frac{F_2}{F_1} = \frac{A_2}{A_1}$$

Alltag: Verwendung z.B. in Bremssystemen

Vergl. Flaschenzug:

## 5.2.3 Hydrodynamik

Organisierte Bewegung von nicht festen Vielteilchensystemen wird Fließen genannt und durch Hydrodynamik beschrieben.

→ Versuch Turbulente u. laminare Strömung

### 1) Allgemeines

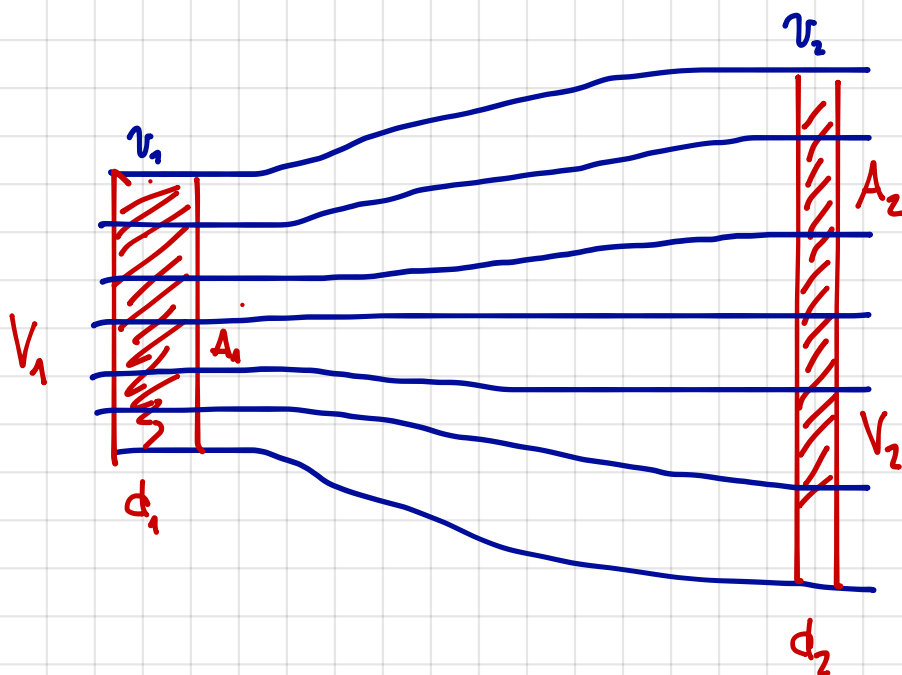
Ideale Strömung:

- Fl.k. ist inkompressibel

nicht viskos (keine Reibung)

- keine Turbulenz (w/ laminare Strömung)

-  $\rho = \text{const.}$



Durchflussenes Volumen in  $\Delta t$  ist konstant.

$$V_1 = A_1 \cdot d_1 = A_1 \cdot v_1 \cdot \Delta t$$

$$V_2 = A_2 \cdot d_2 = A_2 \cdot v_2 \cdot \Delta t$$

Fluss:  $\Phi = A \cdot v$

$$\Phi_1 = A_1 \cdot v_1$$

$$= A_2 \cdot v_2 = \text{const.}$$

$$\Phi = A \cdot v = \text{const}$$

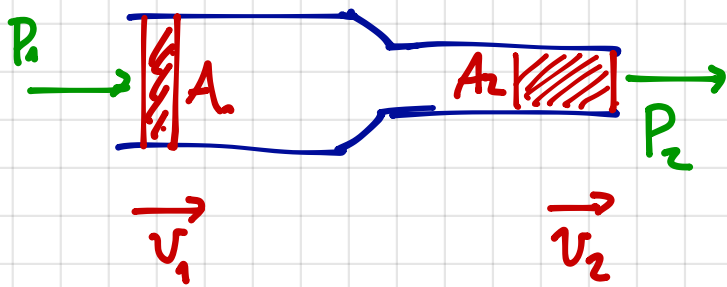
KONTINUITÄTSGLEICHUNG

Alltag: Strahlquerschnitt am Wasserhahn.

## 2.) Bernoulli-Gleichung

Betrachte Fl. k. als Ansammlung von sich bewegenden Masselementen  $\Rightarrow$  Newtons Axiome

Betrachte Rohr, dessen Querschnitt sich verjüngt



Keine äußeren Kräfte  $\Rightarrow$   
Beschleunigung durch Druckdifferenz

Druck leistet Arbeit  $W$ :  $W = \text{Kraft} \times \text{Weg}$

$$\begin{aligned} W &= P_1 \cdot A_1 \cdot v_1 \cdot dt - P_2 \cdot A_2 \cdot v_2 \cdot dt \\ &= (P_1 - P_2) \underbrace{A \cdot v \cdot dt}_{\phi = \text{const.}} \end{aligned}$$

Kinetische Energieänderung:  $\Delta E_k$

$$\begin{aligned} \Delta E_k &= \frac{1}{2} m (v_2^2 - v_1^2) \\ &= \frac{1}{2} \rho A \cdot v \cdot dt \cdot (v_2^2 - v_1^2) \end{aligned}$$

Berücksichtige auch Höhenunterschied  $\Rightarrow \Delta E_p$

$$\begin{aligned} \Delta E_p &= m \cdot g \cdot \Delta h \\ &= \rho \cdot A \cdot v \cdot dt \cdot g \cdot (h_2 - h_1) \end{aligned}$$

## Energiebilanz:

$$W = \Delta E_p + \Delta E_k$$

$$(P_1 - P_2) A \cdot v \cdot dt = \rho \cdot A \cdot v dt \left( g \cdot (h_2 - h_1) + \frac{1}{2} (v_2^2 - v_1^2) \right)$$

$$P_2 - P_1 = \rho \cdot g (h_2 - h_1) + \frac{\rho}{2} (v_2^2 - v_1^2)$$

$$\Rightarrow P_1 + \rho g h_1 + \frac{\rho}{2} v_1^2 = P_2 + \rho g h_2 + \frac{\rho}{2} v_2^2$$

$$P + \rho g h + \frac{1}{2} \rho v^2 = \text{const}$$

BERNOULLIS GESETZ dynamischer Druck  
(oder Staudruck)

Grenzfall:  $v = 0$ :

Pascals Gesetz

$$P + \rho g h = \text{const.}$$

Beispiel:

$$P_1 = 2 \text{ bar}; \quad A_1 = 1 \text{ m}^2; \quad A_2 = 0,1 \text{ m}^2; \quad v_1 = 1 \frac{\text{m}}{\text{s}}; \quad h_1 = h_2 = h$$

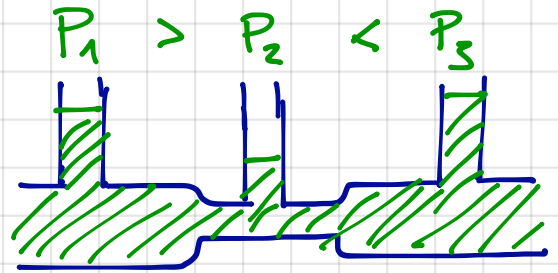
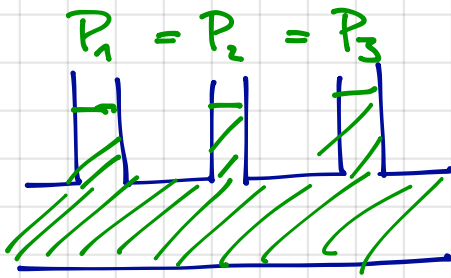
$$P_2 = P_1 + \frac{1}{2} \rho (v_1^2 - v_2^2)$$

$$v_2 = v_1 \cdot \frac{A_1}{A_2}$$

$$P_2 = P_1 + \frac{1}{2} \rho v_1^2 \left( 1 - \frac{A_1^2}{A_2^2} \right)$$

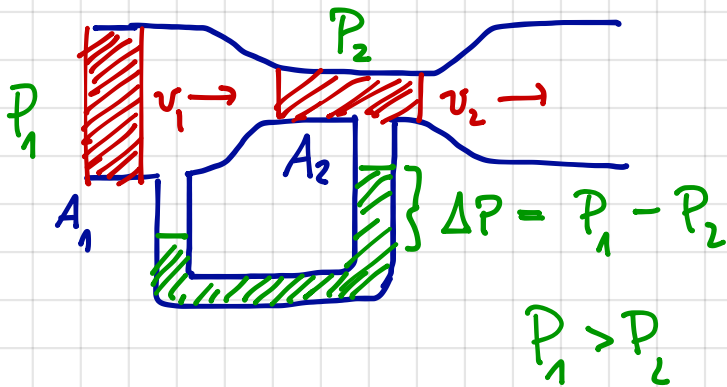
$$\Rightarrow P_2 = 1,5 \text{ bar}$$

⇒ Versuch Steigrohr nach Bernoulli



Dynamischer Druck durch Geschwindigkeitsdifferenz

Anwendung: Strömungsmessinstrument



$$\Phi = A_1 \cdot \sqrt{\frac{2 \Delta P}{\rho \left( \left( \frac{A_1}{A_2} \right)^2 - 1 \right)}}$$

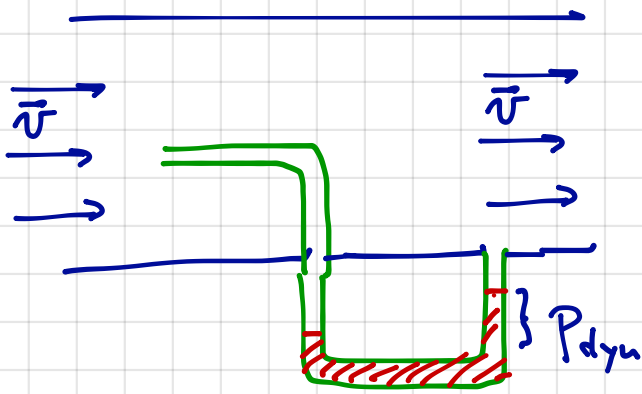
⇒  $v_1, v_2$

Messung von  $\Delta P, A_1, A_2$ :

Ergänzung: Beispiele aus der Aerodynamik:  
(N.B.: Gase sind nicht inkompressibel)

Alltag: ICE im Tunnel

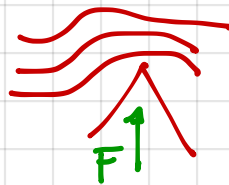
⇒ Prandtl'sches Staurohr



$$P_{dyn} = P_{tot} - P_{stat}$$

$$\Rightarrow v = \sqrt{\frac{2 \cdot P_{dyn}}{\rho}}$$

⇒ Unterdruck über Dach



⇒ Ball auf Luftstrom

